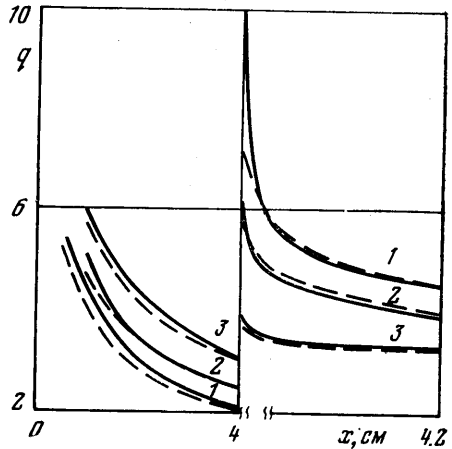


Фиг. 2



Фиг. 3

Распределения концентрации атомов и теплового потока (в  $\text{вт}/\text{м}^2$ ) на пластине и калориметре показаны на Фиг. 2 и 3. Масштаб по оси абсцисс при  $x > x_0$  увеличен в 20 раз. Сплошными линиями показаны результаты расчетов по предложенной методике, штриховыми изображены результаты численного расчета по программе [5]. Цифрами 1, 2, 3 обозначены кривые, соответствующие значениям  $K_{\text{wt}} = 0, 1, 7 \text{ м/сек}$  соответственно. Приемлемое совпадение результатов приближенного аналитического решения и численных расчетов свидетельствует о высокой эффективности метода среднемассовых величин и применимости полученных конечных формул на практике.

Концентрация атомов на поверхности калориметра, обладающего более высокой, чем пластина, каталитической активностью, становится меньше, а тепловой поток, обусловленный каталитической рекомбинацией на поверхности, становится больше, чем на пластине без разрыва каталитичности. Конвективная составляющая теплового потока на калориметре рассчитывается по (1.6) и резких изменений не испытывает.

Анализ результатов показывает, что тепловой поток к поверхности каталитического калориметра сильно зависит от каталитических свойств пластины, находящейся перед ним. Это свойство калориметра использовано в способе определения каталитической активности материалов [2].

Поступила 1 IX 1978

#### ЛИТЕРАТУРА

1. Лунев В. В. Метод среднемассовых величин для пограничного слоя во внешнем потоке с поперечной неоднородностью. Изв. АН СССР, МЖГ, 1967, № 1.
2. Язлаков Ю. В., Воронкин В. Г., Беспалов В. Л. Способ определения каталитической активности материалов. Авт. свид. № 442400, опубл. 5.09.74, Класс G01, n, 25/00.
3. Землянский Б. А., Маринин В. П. К теории калориметра на проницаемой поверхности. Изв. АН СССР, МЖГ, 1974, № 5.
4. Неравновесные физико-химические процессы в аэродинамике. М., «Машиностроение», 1972.
5. Воронкин В. Г., Гераскина Л. К. Неравновесный ламинарный пограничный слой диссоциирующего воздуха на осесимметричных телах. Изв. АН СССР, МЖГ, 1969, № 3.

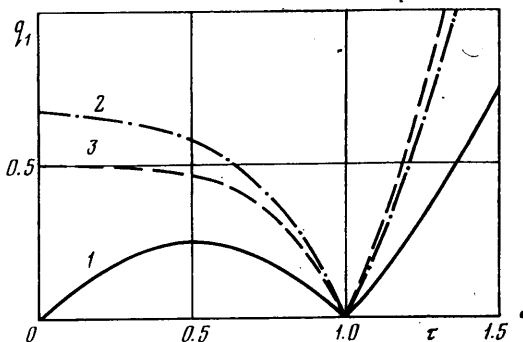
УДК 533.6.011.8

### ТЕПЛОПЕРЕДАЧА В СИЛЬНО РАЗРЕЖЕННОМ ГАЗЕ

О. Г. ФРИДЛЕНДЕР

(Москва)

Рассматривается плоская задача теплопередачи в разреженном газе. Изучается немонотонное изменение потока тепла между пластинами при понижении температуры одной из них. Указывается на парадокс, возникающий в этой задаче при описании взаимодействия молекул газа с поверхностью с помощью коэффициентов аккомодации.



Фиг. 1

1. Рассматривается теплопередача молекулами газа, находящегося между параллельными пластинами, нагретыми до температур  $T_1$ ,  $T_2$ . Предполагается, что молекулы газа отлетают от пластин с максвелловским распределением, соответствующим температурам  $T_1$ ,  $T_2$ . Пусть сначала газ находится в свободномолекулярном состоянии. Тогда тепловой поток определяется формулой

$$(1.1) \quad q_1 = q/q_0 = \tau|1-\tau|, \quad \tau = (T_2/T_1)^{1/2}, \quad q_0 = \pi^{-1/2} \rho_0 (2RT_1)^{3/2}$$

которая отличается от приведенной в [1] только тем, что введена средняя плотность молекул газа  $\rho_0$  ( $R$  – газовая постоянная) и тепловой поток отнесен к величине  $q_0$ . График зависимости  $q_1$  приведен на фиг. 1, кривая 1. Как видно из (1.1) и фиг. 1, тепловой поток монотонно растет с ростом большей температуры, но немонотонно меняется с уменьшением меньшей. Максимальный тепловой поток к пластине 2 достигается не тогда, когда  $T_2$  обращается в нуль, как можно было бы ожидать, а при  $T_2 = 0.25 T_1$  ( $\tau = 0.5$ ); при  $T_2 = 0$  тепловой поток обращается в нуль. Немонотонность потока тепла объясняется влиянием двух факторов. С одной стороны, энергия молекул, улетающих с холодной пластины, уменьшается при уменьшении  $T_2/T_1$ , что приводит к увеличению теплового потока к холодной пластине. С другой стороны, плотность вылетающих молекул  $\rho_2$  растет, вследствие чего уменьшается плотность  $\rho_1$  и количество молекул, перелетающих с горячей пластины на холодную.

На фиг. 1 приведены также зависимости теплового потока в сплошной среде (закон Фурье), демонстрирующие монотонный рост теплового потока  $q$  с увеличением перепада температуры  $|\tau-1|$  для двух показателей в зависимости теплопроводности от температуры  $\lambda/\lambda_1 = (T/T_1)^s$  ( $s=1/2$ , молекулы – упругие сферы, кривая 2;  $s=1$ , максвелловские молекулы, кривая 3). Тепловой поток при этом отнесен к  $q_0 \text{Kn}$ , где  $\text{Kn} = 15/4 \mu_1 \rho_0^{-1} L^{-1} (RT_1)^{-1/2}$ ,  $L$  – расстояние между пластинами.

Естественен вопрос о характере зависимости теплового потока от отношения температур при промежуточных числах Кнудсена. В настоящее время не существует достаточно подробных и точных расчетов зависимости  $q(\tau, \text{Kn})$  в широком диапазоне изменений величин  $\tau$ ,  $\text{Kn}$ . Поэтому для оценки величины  $\tau$ , при которой тепловой поток достигает своего максимального значения, будет использован приближенный метод, основанный на применении вариационного метода с сопряженной функцией. Приближенно решается задача теплопередачи разреженным газом между плоскими пластинами, когда состояние газа описывается функцией распределения  $f(y, \xi)$ , удовлетворяющей уравнению Больцмана (далее примем релаксационную форму интеграла столкновений), диффузным граничным условиям и дополнительным условиям непротекания и постоянства массы (позволяющим определить  $n_i$ )

$$(1.2) \quad \eta \frac{\partial f}{\partial y} = I(f, f), \quad I = An(f_0 - f)$$

$$(1.3) \quad f(-L/2)H^+(\eta) = n_1 f_{01} H^+(\eta), \quad f(+L/2)H^-(\eta) = n_2 f_{02} H^-(\eta)$$

$$H^+(\eta) = \begin{cases} 1, & \eta \geq 0 \\ 0, & \eta < 0, \end{cases} \quad H^- = 1 - H^+$$

$$f_{0i} = (2\pi RT_i)^{-3/2} \exp(-\xi^2/2RT_i)$$

$$(1.4) \quad \frac{1}{L} \int_{-L/2}^{L/2} \int f d\xi dy = n_0, \quad \int_{-L/2}^{L/2} \int \eta f d\xi dy = 0$$

Если ввести дополнительную неизвестную функцию  $g(y, \xi)$ , то можно построить функционал, который достигает своего стационарного значения на решении постав-

ленной задачи, а само стационарное значение  $F$  совпадает с искомым тепловым потоком  $q$ . Ниже приведен функционал, записанный в безразмерном виде (величины отнесены к  $n_0$ ,  $T_1$ ,  $L/2$ ;  $\alpha = (15/8) \sqrt{2} \text{Kn}^{-1} = An_0 L (2RT_1)^{-1/2}$ , когда он построен для интегральной формы записи (1.2) - (1.4), а не дифференциальной, как в [2])

$$(1.5) \quad F = \frac{1}{4} \int_{-1}^1 dy \int \eta \xi^2 f d\xi + \int_{-1}^1 dy \int \eta f g d\xi - \frac{\alpha}{\sqrt{2}} \int_{-1}^1 dy \int_{-1}^1 dy' \int I(f') g [H] d\xi - \\ - \frac{2}{1+\tau} \int_{-1}^1 dy \int \eta g [H^+(\eta) \tau f_1 + H^-(\eta) f_2] d\xi + \\ + \frac{\alpha}{\sqrt{2}(1+\tau)} \int_{-1}^1 dy \int \eta g [H^+(\eta) I_{1f_1} + H^-(\eta) I_{2f_2}] d\xi$$

$$f_1 = (2\pi)^{-3/2} \exp(-\xi^2/2), \quad f_2 = (2\pi\tau^2)^{-3/2} \exp(-\xi^2/2\tau^2) \\ [H] = H^+(\eta) H^+(y-y') - H^-(\eta) H^-(y-y')$$

$$I_{1,2} = \int_{-1}^1 dy \int_{-1}^1 dy' \int I(f) [H] \left( \frac{\tau}{\eta} \pm \sqrt{\frac{\pi}{2}} \right) d\xi$$

Целесообразно ограничиться простыми пробными функциями, имеющими навье-стоксов вид

$$(1.6) \quad f = (2\pi T)^{-3/2} \exp(-\xi^2/2T) [1 + a\eta T^{-3/2} (\xi^2 - 5T)]$$

$$g = b \xi^2, \quad T = \frac{1}{2} \int_{-1}^1 T_0 dy$$

где  $a$ ,  $b$  - постоянные,  $T_0$  - температура газа в режиме сплошной среды.

После вычисления (1.5) при  $f$ ,  $g$ , заданных в виде (1.6), можно найти приближенное выражение стационарного значения  $F$ , совпадающее с безразмерным тепловым потоком.

$$(1.7) \quad q_1 = 2\sqrt{2}\pi^{-1/2} \tau (1-\tau) [1 + 2/3 \pi^{-1/2} T^{-1/2} (T - \tau + \tau^2 + 1) \alpha] \\ T = 2/3 (\tau^4 + \tau^2 + 1) (\tau^2 + 1)^{-1}$$

Точность формулы (1.7) может быть определена из данных, приведенных ниже:

$\alpha$	0	1	2	3	4	5
$q_1$	1.000	0.782	0.642	0.544	0.473	0.417
$q$	1.000	0.762	0.631	0.540	0.472	0.420

Здесь значения теплового потока по формуле (1.7) (первая строка) сравниваются с численным расчетом [3] уравнений (1.2) - (1.4) при  $\tau = 1/2$  и  $0 \leq \alpha \leq 5$  (вторая строка). Погрешность не превышает 2.5%. При меньших значениях числа Кнудсена погрешность возрастает и при  $\tau = 1/2$ ,  $\text{Kn} \rightarrow 0$  относительная погрешность достигает 15%.

Анализ (1.7) показывает, что немонотонная зависимость теплового потока от температуры холодной пластины  $q_1(\tau)$  сохраняется и при  $\alpha \neq 0$ . При этом значение  $\tau$ , при котором достигается максимальное значение  $q_1$ , слабо зависит от  $\alpha$ :  $\tau$  увеличивается от 0.5 при  $\alpha = 0$  до 0.54 при  $\alpha = 1$ , а при дальнейшем росте  $\alpha$  увеличивается до 0.55. Конечно, при очень малых числах Кнудсена ( $\text{Kn} < 0.01$ ), приведенное выражение (1.7) для  $q_1$  перестает быть справедливым, особенно при малых значениях  $\tau$  ( $\tau \ll 1$ ). Теплопередачу в этой области изменения параметров следует исследовать особо. Однако для не очень малых чисел Кнудсена можно сделать вывод о том, что немонотонная зависимость теплового потока от температуры холодной пластины, характерная для свободномолекулярной области, присуща и промежуточной области.

2. Перераспределение потоков молекул, вызывающее эффект, описанный выше, приводит также к иному, не отмеченному ранее явлению. Обычно учет отклонения реального закона взаимодействия молекул газа с поверхностью от полностью диффузного (13) производится введением коэффициентов аккомодации. Однако при

больших перепадах температуры оказывается, что этот способ приводит к парадоксальным результатам, поскольку одному и тому же значению коэффициента аккомодации  $\alpha$  могут соответствовать различные законы взаимодействия молекул с поверхностью. Рассмотрим два закона взаимодействия:

$$(2.1) \quad f(\mp L/2, \eta) H^{\pm}(\eta) = (1-\alpha) f(-\eta) H^{\pm} + \alpha n_{1,2} f_{01,2} H^{\pm}$$

$$(2.2) \quad f(\mp L/2, \eta) H^{\pm} = n_{1,2} f_{01,2} H^{\pm} \\ f_{01,2} = (2\pi RT_{r1})^{-3/2} \exp(-\xi^2/2RT_{r1})$$

$$(2.3) \quad \alpha = \frac{E - E_r}{E - E_w}, \quad E_{ri} = \left(\frac{2}{\pi}\right)^{1/2} m n_i (RT_{ri})^{3/2}$$

В выражении (2.2) температуры  $T_{ri}$  определяются через  $T_i$  заданием коэффициента аккомодации энергии обычным образом (2.3). Подчеркнем, что в обеих моделях с макроскопической точки зрения коэффициент  $\alpha$  может быть отождествлен с коэффициентом аккомодации энергии, несмотря на то, что вид функций распределения отраженных молекул при  $\alpha \neq 1$  в моделях (2.1) и (2.2) различен. Здесь принято одно и то же значение  $\alpha$  для обеих поверхностей.

Решая свободномолекулярную задачу с граничными условиями (2.1) или (2.2), найдем соответственно

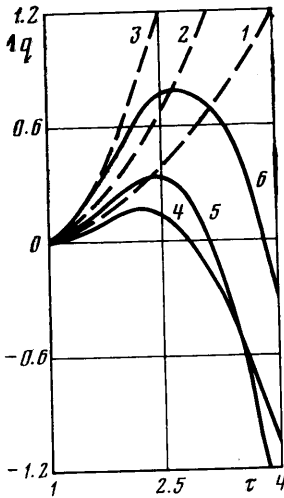
$$(2.4) \quad q = \pi^{-1/2} (2R)^{3/2} \frac{\alpha}{2-\alpha} \rho_0 (T_1 T_2)^{1/2} |T_1^{1/2} - T_2^{1/2}|$$

$$(2.5) \quad q = \pi^{-1/2} (2R)^{3/2} \rho_0 (T_{r1} T_{r2})^{1/2} |T_{r1}^{1/2} - T_{r2}^{1/2}|$$

$$T_{r1} = (2-\alpha)^{-1} [T_1 + (1-\alpha) T_2] \\ T_{r2} = (2-\alpha)^{-1} [(1-\alpha) T_1 + T_2]$$

На фиг. 2 приведена разность между тепловым потоком при  $\alpha=1$  и тепловым потоком при  $\alpha<1$ , отнесенная к  $q_0$ .

Кривые 1-3 соответствуют зеркально-диффузной модели (2.4) с коэффициентами аккомодации соответственно 0.95, 0.9 и 0.8. Кривые 4-6 соответствуют диффузной модели с неполной аккомодацией (2.5) при тех же значениях  $\alpha$ . Как видим, при не очень больших перепадах температуры ( $T_2/T_1 < 4$ ) результаты по обеим моделям близки друг к другу, что совпадает с выводом работы [4]. Однако при больших перепадах ( $T_2/T_1 \sim 10$ ) результаты существенно различаются. Так, например, значение



Фиг. 2

$q$  по модели (2.4) при  $\alpha=0.8$  больше  $q$  по модели (2.5) при  $\alpha=0.9$ . Более того, разным значениям  $\alpha$  в модели (2.5) соответствуют одинаковые  $q$ .

Наконец, при не очень малых коэффициентах аккомодации ( $\alpha > 0.8$ ) и больших перепадах температуры ( $T_2/T_1 > 10$ ) тепловые потоки при  $\alpha < 1$  больше тепловых потоков при  $\alpha=1$ . Этот парадоксальный на первый взгляд результат объясняется тем, что тепловой поток между поверхностями определяется не только энергией молекул, летящих от горячей пластины, которая уменьшается при  $\alpha < 1$ , но и их потоком, который при фиксированной степени разрежения  $\rho_0$  увеличивается. (Во внешних свободномолекулярных задачах поток отраженных молекул зависит только от потока падающих на поверхность молекул и не зависит от коэффициента аккомодации, поэтому там введение коэффициента аккомодации оправдано.) Таким образом, в сильно разреженном газе для вычисления теплопередачи при больших перепадах температуры необходимо знание не только коэффициента аккомодации, но полного закона взаимодействия молекул с поверхностью.

Поступила 26 X 1978

#### ЛИТЕРАТУРА

1. Коган М. Н. Динамика разреженного газа. М., «Наука», 1967, стр. 393-395.
2. Черчиньяни К. Теория и приложения уравнения Больцмана. М., «Мир», 1978, стр. 399.
3. Willis D. R. Heat transfer in a rarefied gas between parallel plates at large temperature ratios. In: Rarefied Gas Dynamics, vol. 1. N. Y.-L., Acad. Press, 1963.
4. Sparrow E. M., Kinney R. B. Free molecule heat transfer between parallel plates. Phys. Fluids, 1964, vol. 7, No. 3.